



**“ÍNDICE DE ANÁLISE DE ADERÊNCIA À ÉTICA ORGANIZACIONAL”
UM ESTUDO SOBRE AS SUAS RELAÇÕES**

Renato Almeida Santos

PONTIFÍCIA UNIVERSIDADE CATÓLICA DE SÃO PAULO
FEA - Faculdade de Economia e Administração
Programa de Estudos Pós-Graduados em Administração

1. INTRODUÇÃO

O presente trabalho tem por objetivo efetuar uma análise das correlações e dos componentes principais (análise multivariada) de dados dimensionadores do Índice de Análise de Aderência à Ética Organizacional em organizações brasileiras.

Para tal, iniciamos com análise da estatística descritiva. Em seguida passamos para a análise das correlações e dendogramas. Na terceira parte utilizamos a análise de correspondência e árvore de classificação. Por fim, fazemos as considerações finais. O software estatístico utilizado é o MINITAB.

1. Entendendo os dados

i. Objetivos do Índice de Análise de Aderência à Ética

O Índice de Análise de Aderência à Ética visa identificar riscos de confiabilidade, para desenvolver e implementar planos adequados com intuito de proteger a organização e seus colaboradores da exposição a riscos operacionais. O objetivo geral é reforçar o ambiente ético da organização através do entendimento da percepção de colaboradores e candidatos a contratação e promoção.

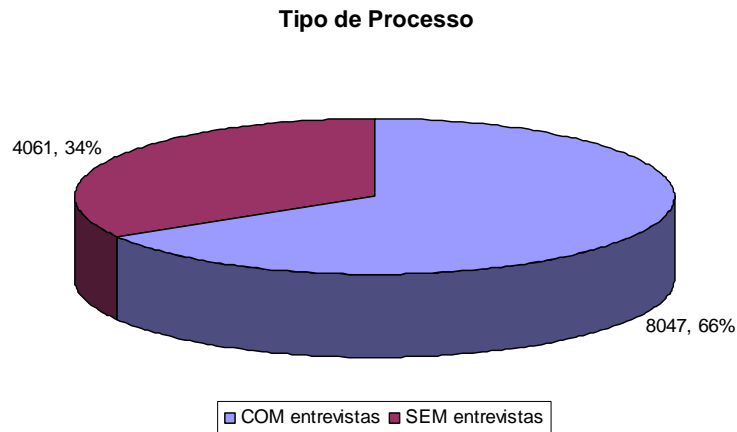
ii. Os indivíduos

Os indivíduos desta análise constam na base de dados da consultoria de riscos corporativos – ICTS (anexo I), os quais são de sua propriedade, resguardando a confidencialidade da identidade dos participantes e de suas respectivas organizações.

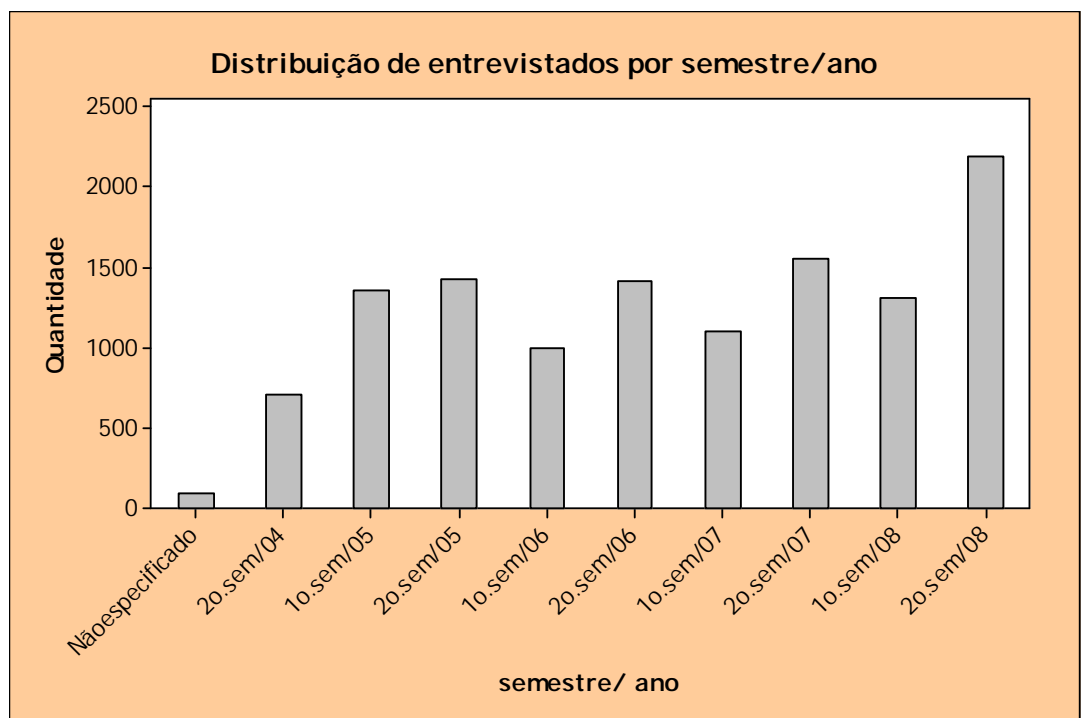
Realizamos uma pesquisa nacional não-probabilística intencional nesse banco de dados, resultando análise com colaboradores e candidatos adultos de **77 organizações** dos três setores (público, privado e organizações não-governamentais), sendo que a concentração está no setor privado com

98,13% das análises contra 1,57% do terceiro setor e 0,31% em órgãos públicos.

As análises aqui pesquisadas são resultados de 232 questões realizadas por meio de questionários e entrevistas, sendo 4.061 (34%) sem entrevista e 8.047 (64%) com entrevista, totalizando **12.108 entrevistados**. Conforme segue:



Os dados foram coletados entre o 2º semestre de 2004 e 2008, conforme a distribuição abaixo:



iii. As variáveis

São 55 as variáveis selecionadas, todas categóricas, para esta pesquisa, sendo explicadas na tabela abaixo:

| Variável | Sigla | Significado | Unidade de Medida |
|---|-------|--|-------------------|
| Segmento | | Segmento de atividade da organização | Nominal |
| Situação | | Qual tipo de intereção com a organização | Nominal |
| Processo | | Qual tipo de processo que realizou (com ou sem entrevista) | Nominal |
| Sexo | | Qual sexo do respondente | Nominal |
| Nascimento | | Local de nascimento do respondente | Nominal |
| Residência | | Local de residência do respondente na época do processo | Nominal |
| Cargo | | Qual cargo está pleiteando ou ocupa | Nominal |
| Sem/ ano | | Semestre/ ano da realização do processo | Ordinal |
| Escolaridade | | Escolaridade do respondente na época do processo | Ordinal |
| Conjuge | | Possui conjuge | Nominal |
| Dependentes | | Possui dependentes financeiros | Nominal |
| Tempo na organização | | Tempo na organização na época do processo | Ordinal |
| Salário | | Faixa salarial do respondente na época | Ordinal |
| Nível de decisão | | Nível de decisão que o cargo do respondente permite | Nominal |
| Risco AAE | | Grau de risco de não aderência à ética organizacional | Ordinal |
| Risco AAE detalhado | | | Ordinal |
| Percepção moral | PM | Grau de risco de inconsistência de visão ética vis-a-vis cultura organizacional | Ordinal |
| Percepção moral (empírico) | PME | Grau de risco de inconsistência de visão ética vis-a-vis cultura organizacional, sem influência do algoritmo de compilação | Ordinal |
| Propensão para o ato antiético | PA | Grau de risco de influência externa para o cometimento de atitude antiética | Ordinal |
| Propensão para o ato antiético (empírico) | PAE | Grau de risco de influência externa para o cometimento de atitude antiética, sem influência do algoritmo de compilação | Ordinal |
| Transparência | TR | Grau de risco de não transparência durante o processo | Ordinal |
| Transparência (empírico) | TRE | Grau de risco de não transparência durante o processo, sem influência do algoritmo de compilação | Ordinal |
| Denúncia | den | Grau de probabilidade de hesitar em denunciar ato antiético | Ordinal |
| Encobriria | enc | Grau de probabilidade de encobrir erros de colegas de trabalho | Ordinal |
| Convivência | conv | Grau de probabilidade em conviver com pessoas antiéticas no local de trabalho | Ordinal |
| Culparia | culp | Grau de probabilidade de culpar outros colegas de trabalho por um erro que cometeu | Ordinal |
| Já revelou | | Grau de probabilidade de ter revelado informações confidenciais para quem não era devido | Ordinal |
| Revelaria | rev | Grau de probabilidade de ter revelar informações confidenciais para quem não é devido | Ordinal |
| Já tomou atalhos | atal | Grau de probabilidade de ter tomado atalhos antiéticos para benefício próprio | Ordinal |
| Tomaria atalhos | tatal | Grau de probabilidade de tomar atalhos antiéticos para benefício próprio | Ordinal |
| Furtou | | Grau de probabilidade de ter furtado bens materiais em seu local de trabalho | Ordinal |
| Potencial furto | furt | Grau de probabilidade de furto bens materiais em seu local de trabalho | Ordinal |
| Índice de Análise de Aderência à Ética Organizacional | | Grau de probabilidade de ter aceito suborno em seu local de trabalho | Ordinal |

| Variável | Sigla | Significado | Unidade de Medida |
|--------------------------|--------------|--|--------------------------|
| Potencial suborno | sub | Grau de probabilidade de aceitar suborno em seu local de trabalho | Ordinal |
| Aceitou presentes | | Grau de probabilidade de ter aceito presentes de valor considerável advindo de fornecedores | Ordinal |
| Potencial presentes | pres | Grau de probabilidade em aceitar presentes de valor considerável advindo de fornecedores | Ordinal |
| Demitido | demit | Grau de probabilidade de ter sido demitido por problemas éticos | Ordinal |
| Desmotiv empresa | emp | Grau de desmotivação para com a organização | Ordinal |
| Desmotiv superior | sup | Grau de desmotivação para com seu superior | Ordinal |
| Deslealdade | desl | Grau de probabilidade de deslealdade para com as organizações em que venha trabalhar | Ordinal |
| Desconhece regras | regr | Grau de desconhecimento das normas e regras da organização | Ordinal |
| Desmotiv salário | sal | Grau de desmotivação para com a remuneração que recebe da organização | Ordinal |
| Desmotiv promoção | prom | Grau de desmotivação por falta de promoção na organização | Ordinal |
| Desmotiv carreira | carr | Grau de desmotivação com a falta de perspectiva de crescimento/ desenvolvimento de sua carreira na organização | Ordinal |
| Vícios | vicio | Grau de risco em ser/ estar viciado em drogas, remédios, jogos ou álcool | Ordinal |
| Gastos financeiros | fin | Grau de descontrole financeiro | Ordinal |
| Gastos com saúde | saud | Grau de endividamento com tratamento de saúde próprio ou de familiar | Ordinal |
| Independência econômica | ifin | Grau de independência econômica para não motivá-lo a permanecer na atual organização | Ordinal |
| Dívidas | div | Grau de endividamento atual | Ordinal |
| Sonho de consumo | cons | Grau de incoerência entre sonho de consumo vis-a-vis renda familiar | Ordinal |
| Parentes na empresa | pemp | Grau de probabilidade de conflito de interesse com relacionamentos na empresa | Ordinal |
| Parentes na concorrência | pcon | Grau de probabilidade de conflito de interesse com relacionamentos na concorrência | Ordinal |
| Parentes na fornecedor | pforn | Grau de probabilidade de conflito de interesse com relacionamentos na fornecedor | Ordinal |
| Dissimulação | diss | Grau de probabilidade em ter dissimulado suas respostas no processo | Ordinal |
| Contradição | contr | Grau de probabilidade em ter entrado em contradição em suas respostas no processo | Ordinal |
| Omissão | omis | Grau de probabilidade em ter omitido informações no processo | Ordinal |
| Exagero | exag | Grau de probabilidade em ter tentado demonstrar ser melhor do que realmente é durante o processo | Ordinal |
| Background | | Existência de restrições cíveis em seu nome (Serasa/ SPC) | Nominal |

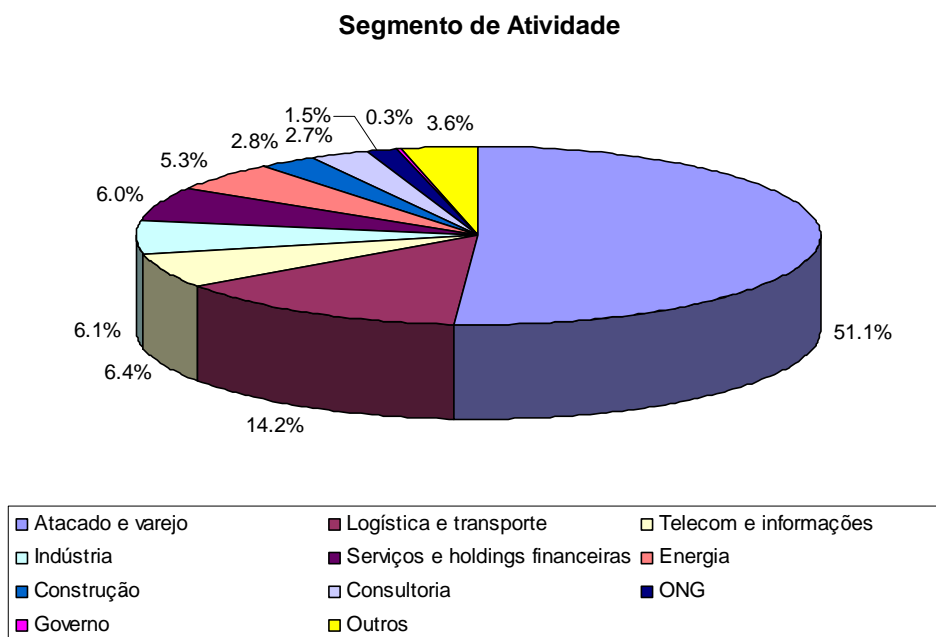
Os dados foram tratados de maneira a se adequarem a uma escala de 1 a 3, conforme segue:

- 1- **BAIXO RISCO** de não aderência à ética organizacional, representado pela cor verde;
- 2- **MÉDIO RISCO** de não aderência à ética organizacional, representado pela cor amarela;
- 3- **ALTO RISCO** de não aderência à ética organizacional, representado pela cor vermelha;

iv. As variáveis

1. Segmento de atividade

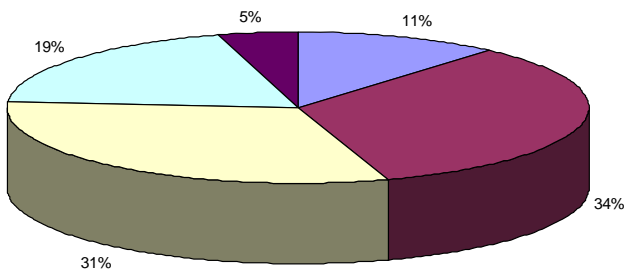
Conforme é possível observar no gráfico ao lado, a concentração de respondentes está no ramo do Atacado e Varejo (51,1%), seguido da área de Logística e Transporte (14,2%).



2. Faixa salarial vis-a-vis nível de decisão

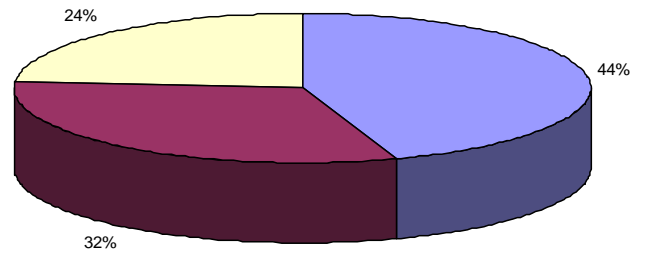
Há uma concentração de respondentes com nível de decisão tática e na faixa salarial entre R\$1.001, a R\$7.000,.

Faixa salarial



■ até R\$ 1.000
 ■ de R\$ 1.001 a R\$ 3.000
 ■ de R\$ 3.001 a R\$ 7.000
■ de R\$ 7.001 a R\$ 15.000
 ■ acima de R\$15.001

Nível de decisão do entrevistado



■ Tático
 ■ Operacional
 ■ Estratégico

| Tabela Estatística - Faixa Salarial X Nível de Decisão (em %) | | | | |
|---|-------------|-------------|-----------|-------|
| | Estratégico | Operacional | Tático | Total |
| até R\$ 1.000 | 2 | 8 | 1 | 11 |
| de R\$ 1.001 a R\$ 3.000 | 4 | 15 | 14 | 33 |
| de R\$ 3.001 a R\$ 7.000 | 7 | 6 | 18 | 31 |
| de R\$ 7.001 a R\$ 15.000 | 8 | 2 | 9 | 19 |
| acima de R\$15.001 | 2 | 1 | 2 | 5 |
| Total | 24 | 32 | 44 | |

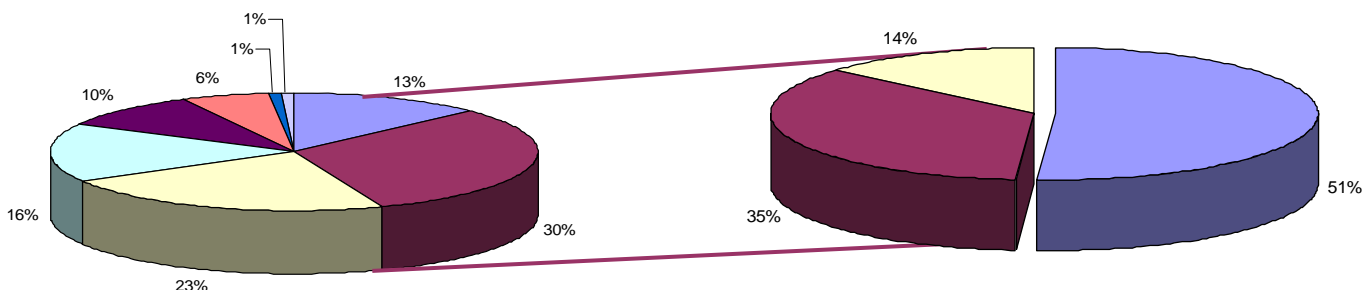
3. Situação do entrevistado

Há uma divisão praticamente equitativa entre colaboradores (49%) e candidatos externos (51%). Dos colaboradores respondentes, mais que a metade (53%) estão na organização entre 1 a 10 anos e uma parcela significativa (13%) está a menos de 1 ano na organização.

Tipo de entrevista

Tempo na organização

■ menos de 1 ano
■ 1 a 5 anos
■ 5 a 10 anos
■ 10 a 15 anos
■ 15 a 20 anos
■ 20 a 25 anos
■ 25 a 30 anos
■ mais de 30 anos

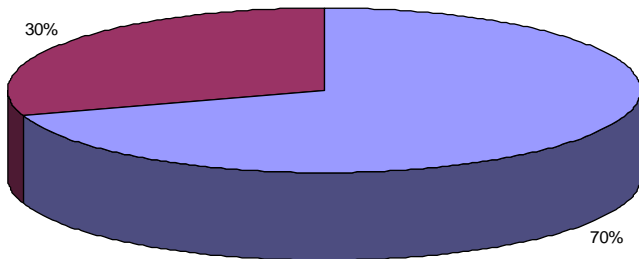


■ Candidato Externo
 ■ Colaborador
 ■ Candidato Interno

4. Sexo e faixa etária dos entrevistados

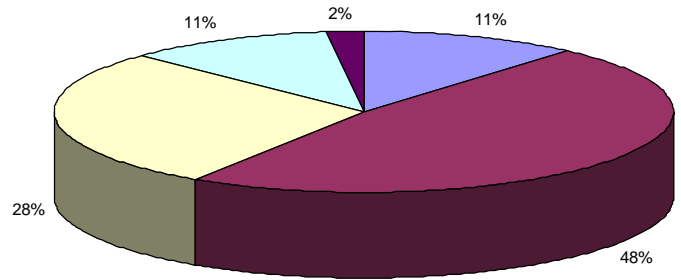
A maioria (70%) dos respondentes são do sexo masculino, sendo que quase a metade (48%) possui entre 25 e 34 anos de idade.

Sexo dos entrevistados



■ Masculino ■ Feminino

Faixa etária dos entrevistados

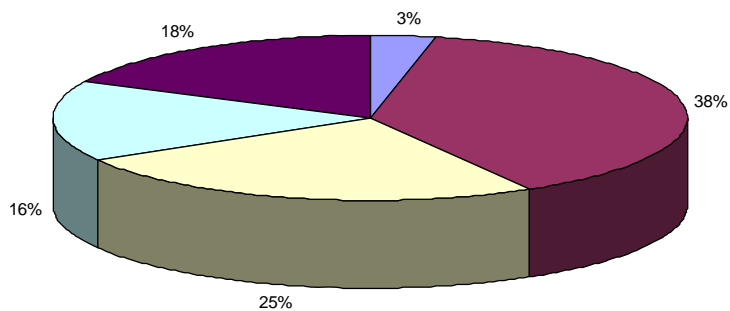


■ 18 < 24 ■ 25 < 34 ■ 35 < 44 ■ 45 < 54 ■ > 55

5. Grau de instrução dos entrevistados

A maioria dos participantes (63%) possui 2º e 3º Graus completos.

Grau de instrução do entrevistado

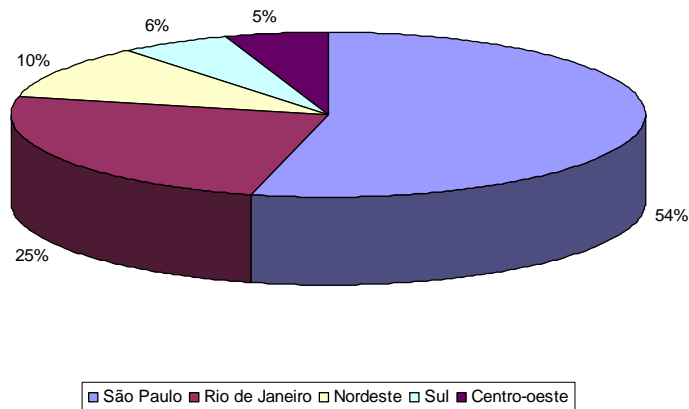


■ Primeiro grau ■ Segundo grau ■ Terceiro grau completo ■ Terceiro grau incompleto ■ Pós-graduação

6. Grau de instrução dos entrevistados

Devido a grande concentração dos participantes estarem localizados na região Sudeste do país (69%), se fez necessário separar os estados de São Paulo e Rio de Janeiro.

Geografia dos entrevistados

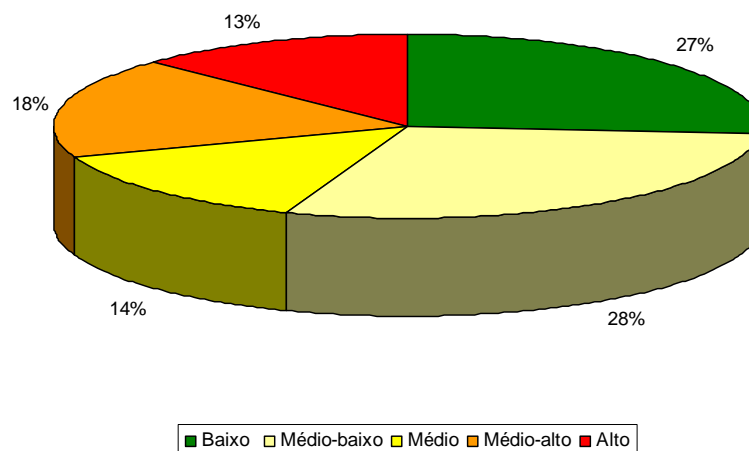


2. Análise Exploratória de Dados

i. Grau de risco consolidado de análise de aderência à ética organizacional

Da amostra estudada, a maioria (60%) está concentrada no médio risco de análise de aderência à ética organizacional, 13% com alto risco de não aderência e 27% com baixo risco. O que significa dizer que a maioria tende a ser flexível em suas ações, agindo sob as pressões das circunstâncias ao invés de sob princípios.

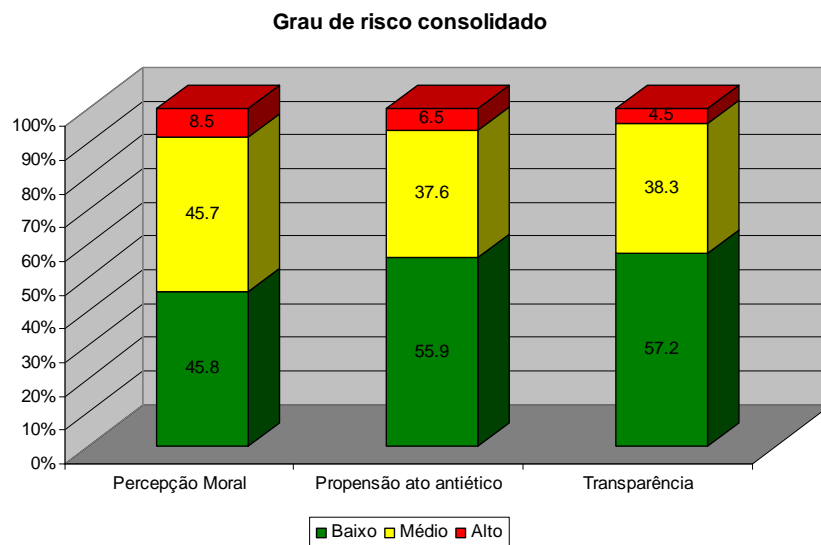
Grau de risco de não aderência à ética organizacional



O grau de risco de não aderência à ética organizacional é composto pela análise combinatória dos três fatores a seguir descritos:

- Percepção moral: discernimento entre o certo e o errado, potencial conflito de valores éticos.
- Propensão para o ato ilícito: desmotivação e deslealdade para com a empresa; identificação de motivos como vícios a drogas, jogos e álcool; endividamento financeiro; conflitos de interesses e influência do grupo;
- Transparência no processo: postura do participante em relação ao questionamento.

Daí temos o seguinte resultado:



ii. Análise de correlações entre os fatores influenciadores do grau de risco consolidado de análise de aderência à ética organizacional

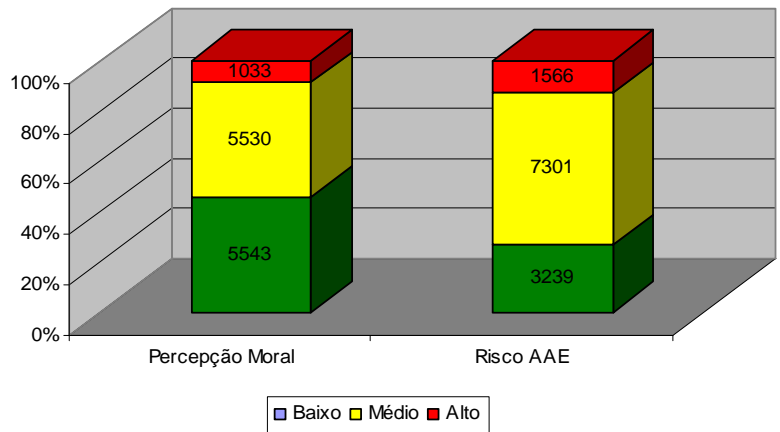
1. Percepção moral X Risco AAE

Tabela de dupla entrada: RISCO AAE, PERCEPCAO

| Rows: RISCO AAE | Columns: PERCEPCAO | | | | |
|-----------------|--------------------|-------|------|---------|-------|
| | Baixo | Médio | Alto | Missing | All |
| Baixo | 3085 | 134 | 20 | 1 | 3239 |
| | 1483 | 1480 | 276 | * | 3239 |
| Médio | 2269 | 4979 | 53 | 0 | 7301 |
| | 3343 | 3335 | 623 | * | 7301 |
| Alto | 189 | 417 | 960 | 0 | 1566 |
| | 717 | 715 | 134 | * | 1566 |
| Missing | 0 | 0 | 0 | 1 | * |
| All | 5543 | 5530 | 1033 | * | 12106 |

Pearson Chi-Square = 10492.495, DF = 4, P-Value = 0.000
 Likelihood Ratio Chi-Square = 8573.225, DF = 4, P-Value=0.000

Percepção Moral X Risco AAE



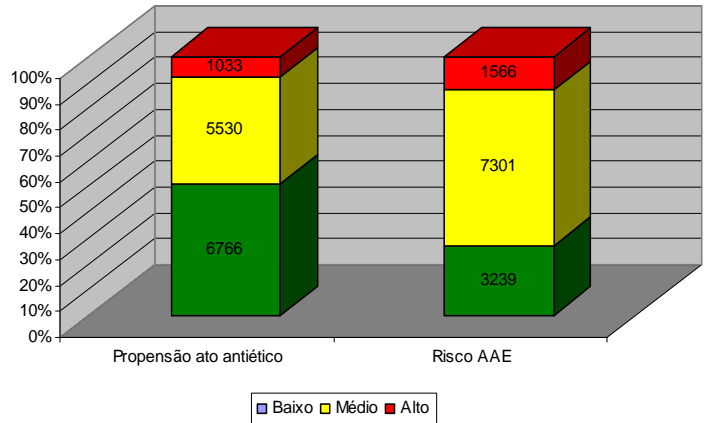
2. Propensão para ato antiético X Risco AAE

Tabela de dupla entrada: RISCO AAE, PROPENSAO

| Rows: RISCO AAE | Columns: PROPENSAO | | | | |
|-----------------|--------------------|-------|------|---------|-------|
| | Baixo | Médio | Alto | Missing | All |
| Baixo | 2425 | 803 | 12 | 0 | 3240 |
| | 1811 | 1218 | 212 | * | 3240 |
| Médio | 3925 | 3040 | 336 | 0 | 7301 |
| | 4080 | 2744 | 477 | * | 7301 |
| Alto | 416 | 707 | 443 | 0 | 1566 |
| | 875 | 589 | 102 | * | 1566 |
| Missing | 0 | 0 | 0 | 1 | * |
| All | 6766 | 4550 | 791 | * | 12107 |

Pearson Chi-Square = 2016.723, DF = 4, P-Value = 0.000
 Likelihood Ratio Chi-Square = 1701.757, DF = 4, P-Value=0.000

Propensão para ato antiético X Risco AAE



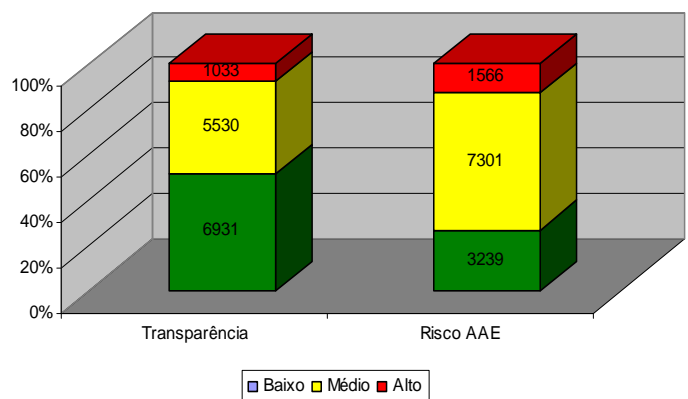
3. Transparência X Risco AAE

Tabela de dupla entrada: RISCO AAE, TRANSPARENCIA

| Rows: RISCO AAE | Columns: TRANSPARENCIA | | | | |
|-----------------|------------------------|-------|------|---------|-------|
| | Baixo | Médio | Alto | Missing | All |
| Baixo | 3099 | 126 | 15 | 0 | 3240 |
| | 1855 | 1241 | 144 | * | 3240 |
| Médio | 3294 | 3979 | 28 | 0 | 7301 |
| | 4180 | 2796 | 325 | * | 7301 |
| Alto | 538 | 532 | 496 | 0 | 1566 |
| | 897 | 600 | 70 | * | 1566 |
| Missing | 0 | 0 | 0 | 1 | * |
| All | 6931 | 4637 | 539 | * | 12107 |

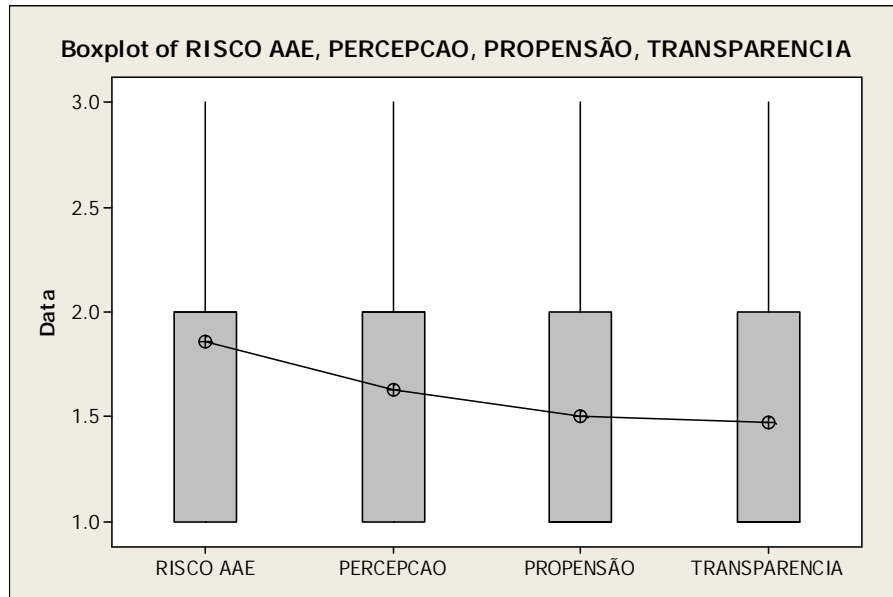
Pearson Chi-Square = 5668.906, DF = 4, P-Value = 0.000
 Likelihood Ratio Chi-Square = 4907.389, DF = 4, P-Value = 0.000

Transparência X Risco AAE



Podemos observar que todos os fatores estão relacionadas ao grau de risco de não Aderência à Ética Organizacional. Sendo que o fator “Percepção

Moral” tem maior influência no risco combinado. Abaixo o gráfico Box-plot exemplifica o observado acima:



iii. Regressão Logística Ordinal entre Grau de risco consolidado de análise de aderência à ética organizacional e seus fatores

Segue abaixo o resultado da regressão logística:

| Predictor | Coef | SE Coef | Z | P | Odds Ratio | 95% CI | |
|---------------|----------|-----------|--------|-------|------------|--------|-------|
| | | | | | | Lower | Upper |
| Const(1) | 11.7226 | 0.186234 | 62.95 | 0.000 | | | |
| Const(2) | 19.9108 | 0.288879 | 68.92 | 0.000 | | | |
| PERCEPCAO | -4.77444 | 0.0772395 | -61.81 | 0.000 | 0.01 | 0.01 | 0.01 |
| PROPENSÃO | -1.00498 | 0.0483081 | -20.80 | 0.000 | 0.37 | 0.33 | 0.40 |
| TRANSPARENCIA | -3.75059 | 0.0684466 | -54.80 | 0.000 | 0.02 | 0.02 | 0.03 |

Log-Likelihood = -4400.974
 Test that all slopes are zero: G = 13528.461, DF = 3, P-Value = 0.000

Goodness-of-Fit Tests

| Method | Chi-Square | DF | P |
|----------|------------|----|-------|
| Pearson | 215100 | 49 | 0.000 |
| Deviance | 3532 | 49 | 0.000 |

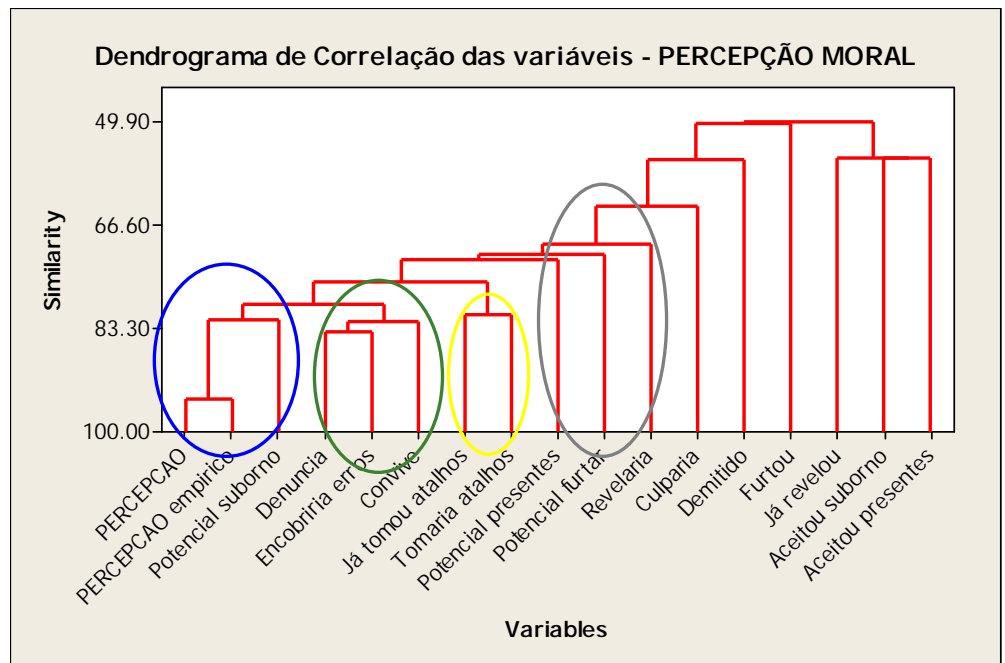
Measures of Association:
 (Between the Response Variable and Predicted Probabilities)

| Pairs | Number | Percent | Summary Measures |
|------------|----------|---------|----------------------------|
| Concordant | 37545263 | 93.5 | Somers' D 0.90 |
| Discordant | 1452574 | 3.6 | Goodman-Kruskal Gamma 0.93 |
| Ties | 1155742 | 2.9 | Kendall's Tau-a 0.49 |
| Total | 40153579 | 100.0 | |

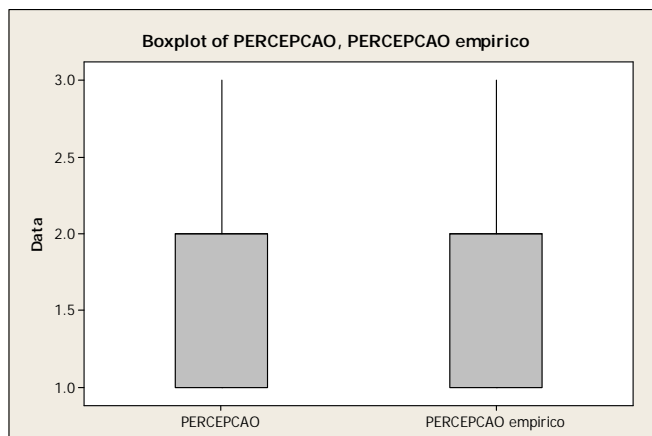
- Os valores de “Medidas de Associação” são um espécie de medida da capacidade de predição do modelo. Temos, neste caso, 93,5% de chance de acerto, utilizando a equação de regressão logística dada pelos coeficientes e constante acima.
- O Resumo das Medidas nos indicam uma habilidade de predição que varia de 0,49 e 0,93, o que é satisfatório.

iv. Análise de Dendogramas

1. Dendograma das variáveis de Percepção Moral:

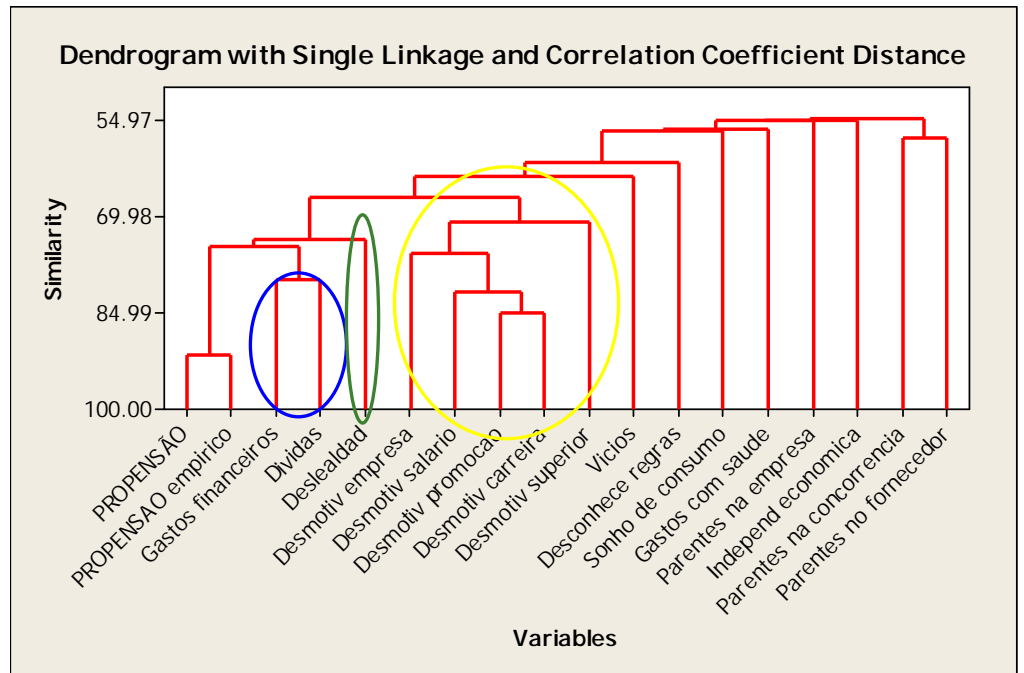


Há pelo menos 5 clusters de similaridade entre as variáveis de Percepção Moral, conforme podemos observar no gráfico acima.

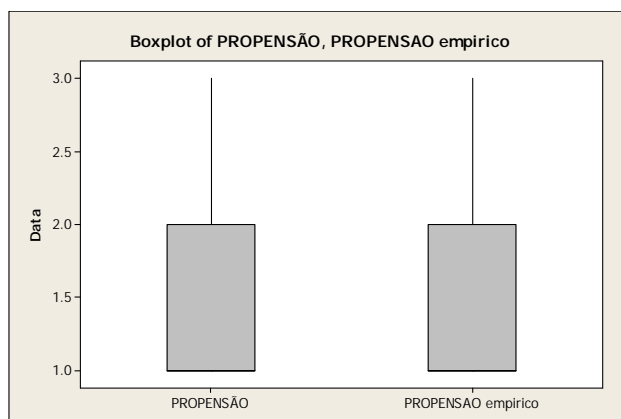


É possível identificar no gráfico Boxplot acima, um forte grau de correlação entre a Percepção Moral (composto por algoritmo) e Percepção Moral (empírico), revelando assim que os conceitos estão alinhados.

2. Dendrograma das variáveis de Propensão para o ato antiético:



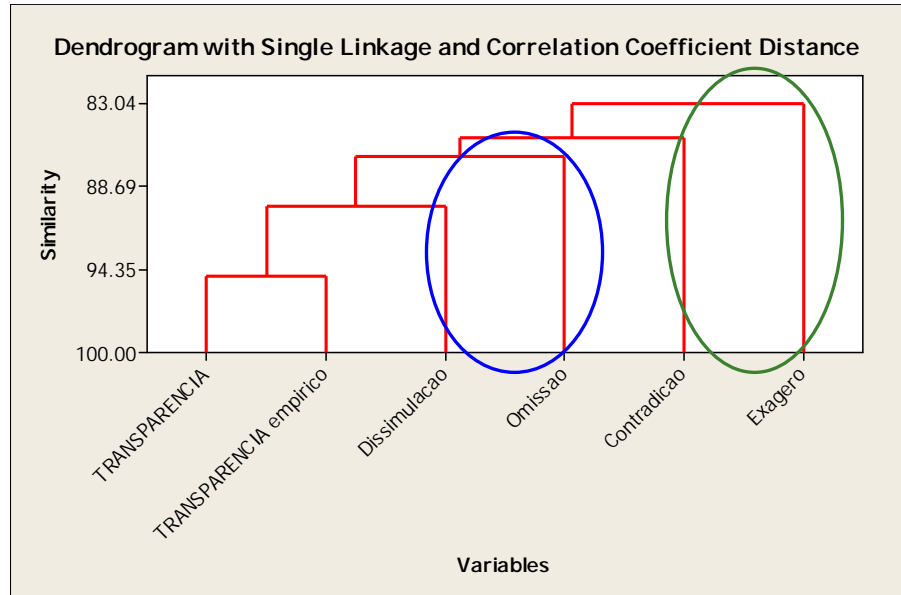
Há pelo menos 4 clusters de similaridade entre as variáveis de Propensão ato antiético, conforme podemos observar no gráfico acima.



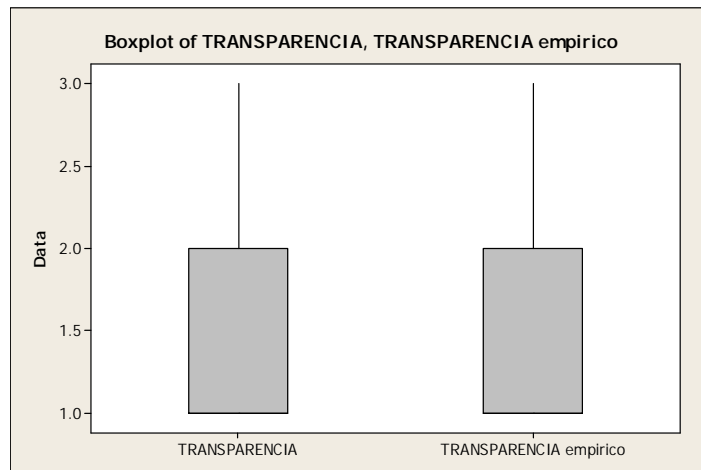
É possível identificar no gráfico Boxplot acima um forte grau de correlação entre a Propensão ato antiético (composto por

algoritmo) e o Empírico, revelando assim que os conceitos estão alinhados.

3. Dendrograma das variáveis de Transparência:



Há pelo menos 4 clusters de similaridade entre as variáveis de Propensão ato antiético , conforme podemos observar no gráfico acima.



É possível identificar no gráfico Boxplot acima um forte grau de correlação entre a Propensão ato antiético (composto por algoritmo) e o Empírico, revelando assim que os conceitos estão alinhados.

v. Análise de Correspondência

A análise de correspondência é um método de análise fatorial para variáveis categóricas. A AC, basicamente, converte uma tabela de dados não negativos de duas ou múltiplas entradas em um tipo de representação gráfica em que as linhas e as colunas são simultaneamente representadas em dimensão reduzida, isto é, por pontos no gráfico. Este método permite mostrar como as variáveis dispostas em linhas e colunas estão relacionadas e não somente se a relação existe. A seguir, é apresentado o resultado da análise de correspondência para as tabelas:

1. Variáveis de Percepção Moral:

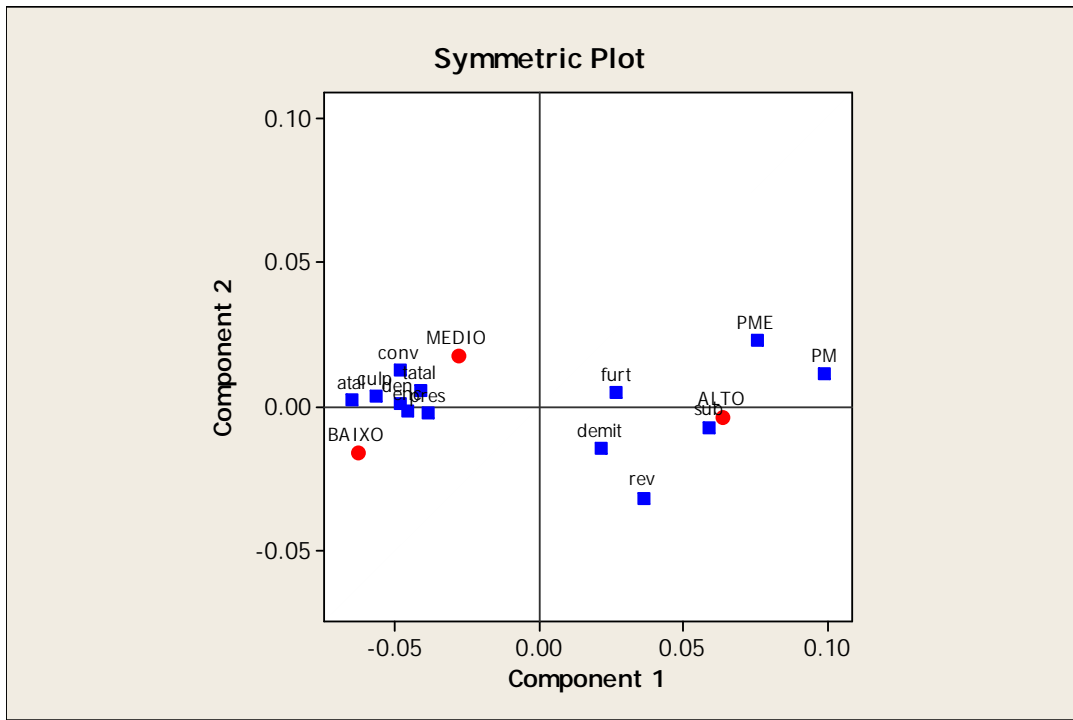
| Variáveis de Percepção Moral | | | | | | | | | | | | | |
|------------------------------|-----|-----|-----|-----|------|------|-----|------|-------|------|-----|------|-------|
| RISCO | PM | PME | den | enc | conv | culp | rev | atal | tatal | furt | sub | pres | demit |
| BAIXO | 147 | 145 | 158 | 158 | 160 | 179 | 174 | 173 | 166 | 176 | 163 | 169 | 181 |
| MEDIO | 205 | 205 | 194 | 193 | 202 | 220 | 207 | 211 | 207 | 229 | 210 | 207 | 223 |
| ALTO | 291 | 275 | 219 | 220 | 224 | 244 | 285 | 231 | 235 | 292 | 288 | 239 | 291 |

```

Analysis of Contingency Table
Axis Inertia Proportion Cumulative Histogram
1 0.0030 0.9455 0.9455 *****
2 0.0002 0.0545 1.0000 *
Total 0.0031

Row Contributions
ID Name Qual Mass Inert Component 1 Component 2
Coord Corr Contr Coord Corr Contr
1 BAIXO 1.000 0.262 0.355 -0.063 0.941 0.353 -0.016 0.059 0.385
2 MEDIO 1.000 0.331 0.116 -0.028 0.728 0.089 0.017 0.272 0.580
3 ALTO 1.000 0.407 0.529 0.064 0.996 0.558 -0.004 0.004 0.036

Column Contributions
ID Name Qual Mass Inert Component 1 Component 2
Coord Corr Contr Coord Corr Contr
1 PM 1.000 0.078 0.247 0.099 0.988 0.258 0.011 0.012 0.056
2 PME 1.000 0.076 0.151 0.075 0.917 0.146 0.023 0.083 0.231
3 den 1.000 0.070 0.052 -0.049 1.000 0.055 0.001 0.000 0.000
4 enc 1.000 0.070 0.046 -0.046 0.998 0.049 -0.002 0.002 0.002
5 conv 1.000 0.071 0.057 -0.048 0.940 0.056 0.012 0.060 0.063
6 culp 1.000 0.078 0.080 -0.057 0.997 0.084 0.003 0.003 0.005
7 rev 1.000 0.081 0.060 0.036 0.566 0.036 -0.032 0.434 0.481
8 atal 1.000 0.075 0.101 -0.065 0.999 0.106 0.002 0.001 0.002
9 tatal 1.000 0.074 0.041 -0.041 0.983 0.042 0.005 0.017 0.013
10 furt 1.000 0.085 0.020 0.027 0.968 0.020 0.005 0.032 0.012
11 sub 1.000 0.081 0.090 0.059 0.985 0.094 -0.007 0.015 0.025
12 pres 1.000 0.075 0.036 -0.039 0.996 0.038 -0.003 0.004 0.003
13 demit 1.000 0.085 0.018 0.021 0.674 0.013 -0.015 0.326 0.109
    
```



2. Variáveis de Propensão para o ato antiético:

| Variáveis de Propensão para o ato antiético | | | | | | | | | | | | | | | | | | | |
|---|-----|-----|-----|-----|------|------|-----|------|------|-------|-----|------|------|-----|------|------|------|-------|--|
| RISCO | PA | PAE | emp | sup | desl | regr | sal | prom | carr | vicio | fin | saud | ifin | div | cons | pemp | pcon | pforn | |
| BAIXO | 170 | 171 | 180 | 181 | 165 | 180 | 180 | 181 | 181 | 179 | 179 | 182 | 182 | 178 | 182 | 181 | 182 | 182 | |
| MEDIO | 197 | 201 | 192 | 197 | 207 | 207 | 188 | 188 | 190 | 208 | 202 | 197 | 196 | 195 | 210 | 193 | 188 | 200 | |
| ALTO | 254 | 252 | 195 | 180 | 270 | 192 | 190 | 190 | 187 | 274 | 258 | 204 | 170 | 247 | 206 | 189 | 194 | 195 | |

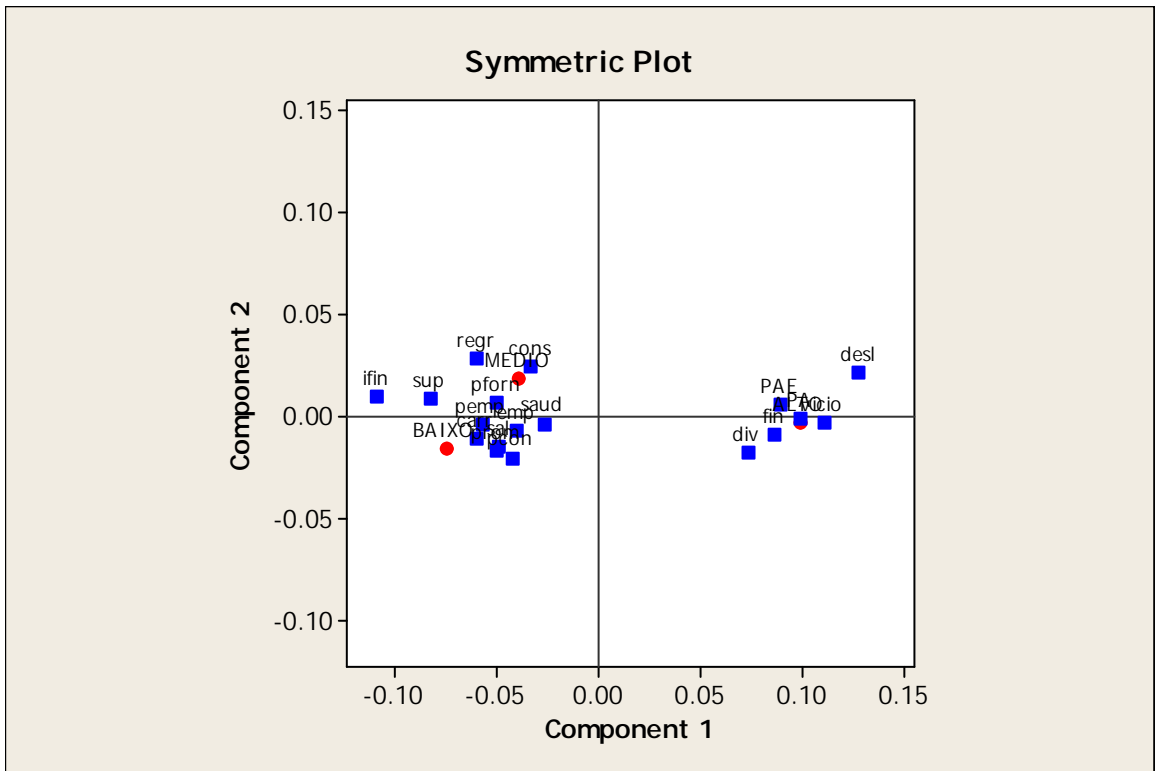
```

Axis Inertia Proportion Cumulative Histogram
 1 0.0057 0.9664 0.9664 *****
 2 0.0002 0.0336 1.0000 *
Total 0.0059

Row Contributions
                                Component 1      Component 2
ID Name Qual Mass Inert Coord Corr Contr Coord Corr Contr
 1 BAIXO 1.000 0.303 0.300 -0.075 0.955 0.296 -0.016 0.045 0.401
 2 MEDIO 1.000 0.335 0.105 -0.039 0.816 0.089 0.019 0.184 0.576
 3 ALTO 1.000 0.362 0.595 0.099 0.999 0.615 -0.004 0.001 0.023

Column Contributions
                                Component 1      Component 2
ID Name Qual Mass Inert Coord Corr Contr Coord Corr Contr
 1 PA 1.000 0.058 0.096 0.099 1.000 0.099 -0.001 0.000 0.001
 2 PAE 1.000 0.059 0.079 0.089 0.996 0.082 0.006 0.004 0.011
 3 emp 1.000 0.053 0.015 -0.040 0.968 0.015 -0.007 0.032 0.014
 4 sup 1.000 0.053 0.061 -0.082 0.988 0.062 0.009 0.012 0.022
 5 desl 1.000 0.060 0.171 0.128 0.972 0.172 0.022 0.028 0.144
 6 regr 1.000 0.055 0.040 -0.060 0.817 0.034 0.028 0.183 0.217
 7 sal 1.000 0.053 0.023 -0.049 0.919 0.022 -0.015 0.081 0.056
 8 prom 1.000 0.053 0.025 -0.051 0.903 0.024 -0.017 0.097 0.073
 9 carr 1.000 0.053 0.032 -0.060 0.970 0.032 -0.011 0.030 0.029
10 vicio 1.000 0.062 0.127 0.110 0.999 0.132 -0.003 0.001 0.002
11 fin 1.000 0.060 0.076 0.086 0.990 0.078 -0.009 0.010 0.024
12 saud 1.000 0.055 0.007 -0.027 0.982 0.007 -0.004 0.018 0.004
13 ifin 1.000 0.052 0.103 -0.109 0.993 0.106 0.009 0.007 0.022
14 div 1.000 0.058 0.056 0.073 0.945 0.054 -0.018 0.055 0.091
15 cons 1.000 0.056 0.016 -0.033 0.652 0.011 0.024 0.348 0.164
16 pemp 1.000 0.053 0.029 -0.057 0.994 0.030 -0.004 0.006 0.005
17 pcon 1.000 0.053 0.020 -0.043 0.816 0.017 -0.020 0.184 0.109
18 pforn 1.000 0.054 0.023 -0.050 0.981 0.024 0.007 0.019 0.014

```



3. Variáveis de Transparência no processo:

| Variáveis de Propensão para o ato antiético | | | | | | | |
|---|-----|-----|------|-------|------|------|--|
| RISCO | TR | TRE | diss | contr | omis | exag | |
| BAIXO | 163 | 162 | 165 | 168 | 165 | 166 | |
| MÉDIO | 208 | 207 | 209 | 211 | 207 | 201 | |
| ALTO | 289 | 274 | 281 | 283 | 234 | 220 | |

Analysis of Contingency Table

Axis Inertia Proportion Cumulative Histogram

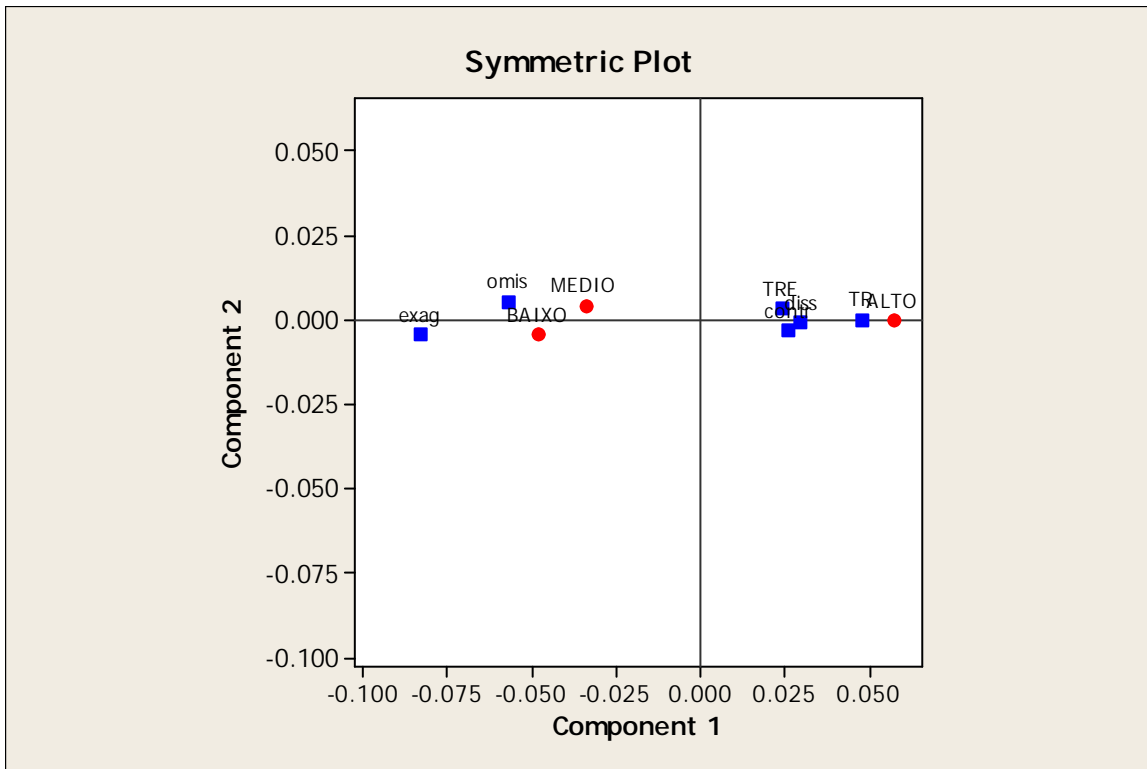
| | | | | |
|-------|--------|--------|--------|-------|
| 1 | 0.0023 | 0.9952 | 0.9952 | ***** |
| 2 | 0.0000 | 0.0048 | 1.0000 | |
| Total | 0.0024 | | | |

Row Contributions

| ID Name | Qual | Mass | Inert | Component 1 | | | Component 2 | | |
|---------|-------|-------|-------|-------------|-------|-------|-------------|-------|-------|
| | | | | Coord | Corr | Contr | Coord | Corr | Contr |
| 1 BAIXO | 1.000 | 0.259 | 0.260 | -0.048 | 0.991 | 0.259 | -0.005 | 0.009 | 0.482 |
| 2 MÉDIO | 1.000 | 0.326 | 0.165 | -0.034 | 0.985 | 0.163 | 0.004 | 0.015 | 0.511 |
| 3 ALTO | 1.000 | 0.415 | 0.576 | 0.057 | 1.000 | 0.578 | -0.000 | 0.000 | 0.007 |

Column Contributions

| ID Name | Qual | Mass | Inert | Component 1 | | | Component 2 | | |
|---------|-------|-------|-------|-------------|-------|-------|-------------|-------|-------|
| | | | | Coord | Corr | Contr | Coord | Corr | Contr |
| 1 TR | 1.000 | 0.173 | 0.167 | 0.048 | 1.000 | 0.168 | -0.000 | 0.000 | 0.000 |
| 2 TRE | 1.000 | 0.169 | 0.042 | 0.024 | 0.983 | 0.042 | 0.003 | 0.017 | 0.153 |
| 3 diss | 1.000 | 0.172 | 0.064 | 0.030 | 0.999 | 0.064 | -0.001 | 0.001 | 0.007 |
| 4 contr | 1.000 | 0.174 | 0.051 | 0.026 | 0.983 | 0.050 | -0.003 | 0.017 | 0.185 |
| 5 omis | 1.000 | 0.159 | 0.224 | -0.057 | 0.991 | 0.223 | 0.005 | 0.009 | 0.401 |
| 6 exag | 1.000 | 0.154 | 0.452 | -0.083 | 0.997 | 0.453 | -0.004 | 0.003 | 0.254 |

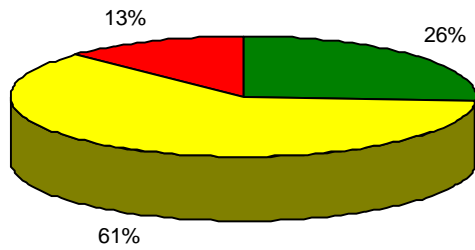


3. Resultados gerais

i. Análise comparativa entre sexos

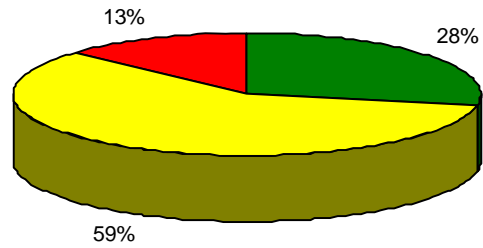
| Tabela Estatística | | | |
|--|---------------|---------------|---------------|
| Rows: RISCO AAE | Columns: SEXO | | |
| | Masc | Fem | All |
| Baixo | 2221 26.31 | 1019 27.81 | 3240 26.76 |
| Médio | 5138 60.86 | 2163 59.03 | 7301 60.30 |
| Alto | 1084 12.84 | 482 13.16 | 1566 12.93 |
| Missing | 0 * | 1 * | * * |
| Pearson Chi-Square = 3.766, DF = 2, P-Value = 0.152 | | | |
| Likelihood Ratio Chi-Square = 3.756, DF = 2, P-Value = 0.153 | | | |

Risco AAE - Masculino

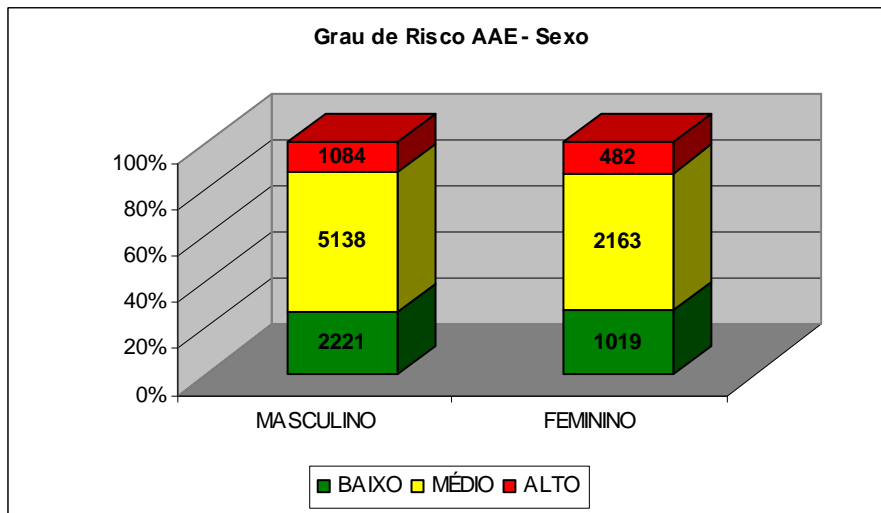


■ BAIXO ■ MÉDIO ■ ALTO

Risco AAE - Feminino



■ BAIXO ■ MÉDIO ■ ALTO

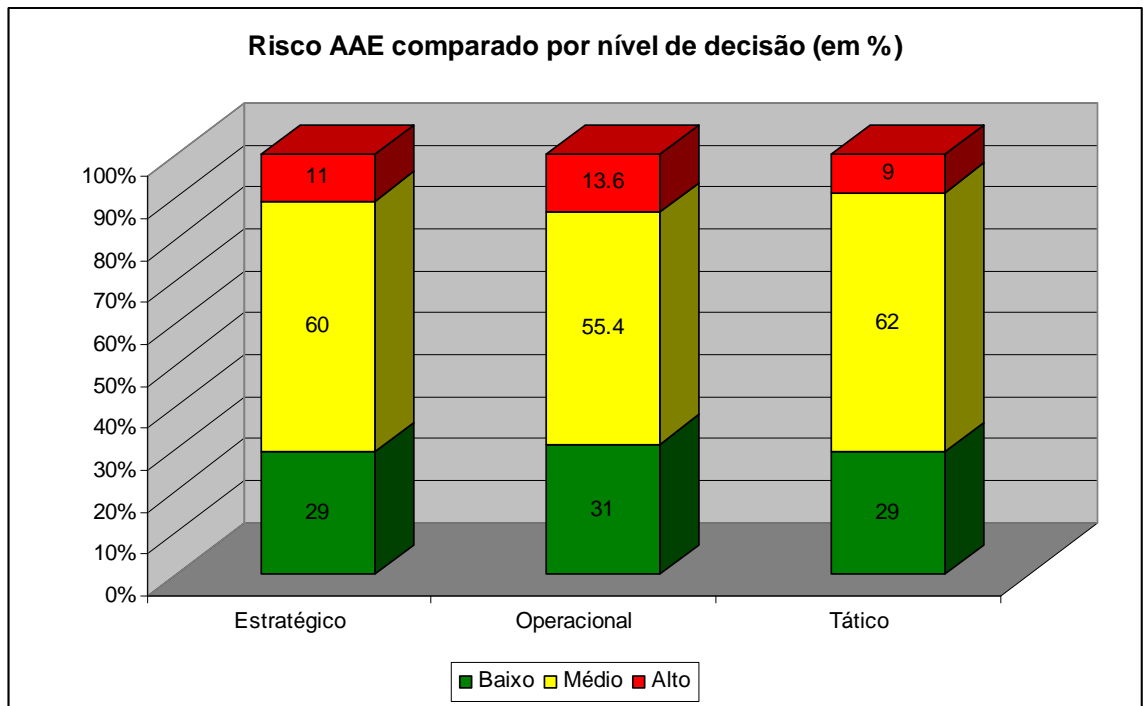


Pela análise dos detalhes e gráfico percebemos que há grande semelhança de risco entre os sexos, principalmente em se tratando de alto risco. Sendo que o sexo feminino possui menor risco médio (59%) contra 61% masculino, tendo maior concentração no baixo risco.

ii. Análise comparativa entre os níveis de decisão

| Rows: RISCO AAE Columns: Nivel de decisão | | | | | |
|---|----------------|----------------|----------------|-----------|----------------|
| | Estratégico | Operacional | Tático | Missing | All |
| Baixo | 518 28.94 | 750 30.92 | 983 29.01 | 989 * | 2251 29.60 |
| Médio | 1074 60.00 | 1346 55.48 | 2100 61.98 | 2781 * | 4520 59.44 |
| Alto | 198 11.06 | 330 13.60 | 305 9.00 | 733 * | 833 10.95 |
| Missing | 0 * | 0 * | 0 * | 1 * | * * |
| All | 1790 100.00 | 2426 100.00 | 3388 100.00 | * * | 7604 100.00 |

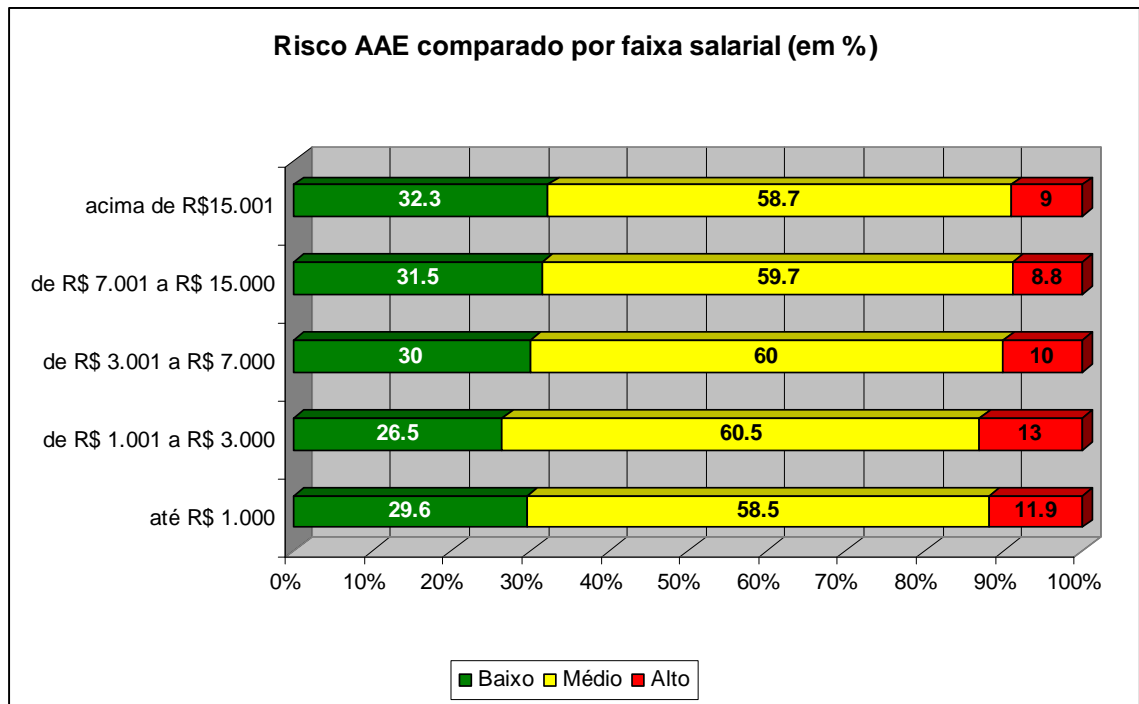
Pearson Chi-Square = 39.584, DF = 4, P-Value = 0.000
Likelihood Ratio Chi-Square = 39.315, DF = 4, P-Value = 0.000



Pela análise dos detalhes e gráfico percebemos que há uma semelhança de risco entre os níveis de decisão, todavia o nível operacional apresenta maior grau de risco 13,6% e em contraponto, apresenta maior quantidade de baixo risco.

iii. Análise comparativa entre faixas salariais

| Tabela Estatística | | | | | | | |
|---|--------|--------|--------|--------|--------|---------|--------|
| Rows: RISCO AAE Columns: Salar atual | | | | | | | |
| | 1 | 2 | 3 | 4 | 5 | Missing | All |
| Baixo | 252 | 688 | 690 | 442 | 94 | 1074 | 2166 |
| | 29.65 | 26.52 | 30.03 | 31.59 | 32.30 | * | 29.14 |
| Médio | 498 | 1570 | 1377 | 835 | 171 | 2850 | 4451 |
| | 58.59 | 60.52 | 59.92 | 59.69 | 58.76 | * | 59.89 |
| Alto | 100 | 336 | 231 | 122 | 26 | 751 | 815 |
| | 11.76 | 12.95 | 10.05 | 8.72 | 8.93 | * | 10.97 |
| Missing | 0 | 0 | 0 | 0 | 0 | 1 | * |
| | * | * | * | * | * | * | * |
| All | 850 | 2594 | 2298 | 1399 | 291 | * | 7432 |
| | 100.00 | 100.00 | 100.00 | 100.00 | 100.00 | * | 100.00 |
| Cell Contents: Count | | | | | | | |
| % of Column | | | | | | | |
| Pearson Chi-Square = 30.278, DF = 8, P-Value = 0.000 | | | | | | | |
| Likelihood Ratio Chi-Square = 30.440, DF = 8, P-Value = 0.000 | | | | | | | |



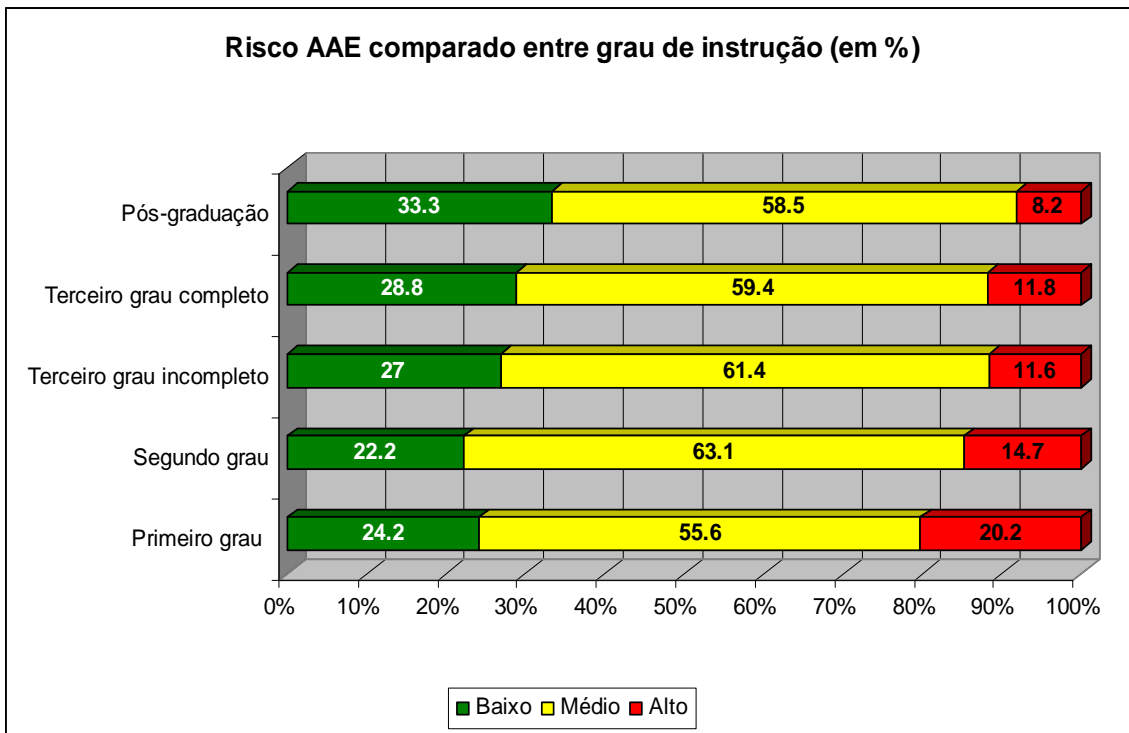
Pela análise dos detalhes e gráfico percebemos que há maior concentração de alto risco dos entrevistados que estão na faixa salarial entre R\$1.001 a R\$3.000,. Sendo que esta mesma faixa salarial possui o maior índice de baixo risco.

iv. Análise comparativa entre grau de instrução

| Tabela Estatística | | | | | | | |
|------------------------------------|---------------|----------------|----------------|----------------|----------------|-----------|----------------|
| Rows: RISCO AAE Columns: Instrucao | | | | | | | |
| | 1 | 2 | 3 | 4 | 5 | Missing | All |
| Baixo | 93 24.28 | 609 22.26 | 790 28.83 | 477 26.92 | 607 33.33 | 664 * | 2576 27.25 |
| Médio | 213 55.61 | 1726 63.08 | 1629 59.45 | 1089 61.46 | 1066 58.54 | 1578 * | 5723 60.55 |
| Alto | 77 20.10 | 401 14.66 | 321 11.72 | 206 11.63 | 148 8.13 | 413 * | 1153 12.20 |
| All | 383 100.00 | 2736 100.00 | 2740 100.00 | 1772 100.00 | 1821 100.00 | * * | 9452 100.00 |

Cell Contents: Count
% of Column

Pearson Chi-Square = 118.927, DF = 8, P-Value = 0.000
Likelihood Ratio Chi-Square = 118.255, DF = 8, P-Value = 0.000



Pela análise dos detalhes e gráfico percebemos que há uma forte correlação entre o nível de instrução com o grau de risco AAE, sendo que podemos concluir que quanto maior a escolaridade existe maior discernimento de ética organizacional.

Anexo I – Apresentação ICTS Global

A ICTS Global é uma empresa internacional de consultoria, especializada em redução de riscos ao patrimônio, reputação, informações e vida, incluindo a prevenção de fraudes e perdas.

Fundada em 1982, a ICTS Global faz parte de uma holding com operações em todos os continentes, atuando desde 1995 na América Latina, com escritórios em São Paulo e Rio de Janeiro, e uma equipe de mais de 70 funcionários.

A ICTS tem experiência única em desenvolver e implementar sistemas de segurança e prevenção de riscos em ambientes complexos e de alto risco, com clientes dos mais diversos segmentos, como holdings, telecom, financeiro, varejo, bens de consumo, recursos naturais e energia, portos, aeroportos e companhias de aviação.